

响应面法优化青豆复合鸡肉香肠的工艺条件

鞠 斌,巴吐尔•阿不力克木*,刘雅娜 (新疆农业大学食品科学与药学学院,新疆 乌鲁木齐 830052)

摘 要:应用响应面法对青豆复合鸡肉香肠进行工艺优化,通过单因素试验初步确定,以食盐添加量、腌制时间、青豆添加量为自变量,以亚硝酸盐残留量为响应值,进行Box-Behnken试验设计,并构建二次回归方程。结果表明:最佳工艺条件为食盐添加量2.54%、腌制时间36 h、青豆添加量10.84%,此时亚硝酸盐残留量最低,香肠整体色泽、口感最佳。

关键词: 青豆; 复合香肠; 响应面分析法; 工艺优化

Optimization of Process for the Production of Chicken Sausage with Added Green Soybean by Response Surface Analysis

JU Bin, Batuer ABULIKEMU*, LIU Yana

(College of Food and Pharmaceutics, Xinjiang Agricultural University, Ürümqi 830052, China)

Abstract: In this study, we report the optimization of process conditions for the production of chicken sausage with added green soybean using combination of single factor design and response surface methodology. A quadratic regression model equation was developed indicating the effect of salt concentration, curing time and green soybean concentration on nitrate residue using Box-Behnken design. Results showed that 2.54% salt, 36 h curing and 10.84% green soybean were optimum for the minimum level of nitrate residue. Overall, the sausage obtained under these conditions had the best color and taste.

Key words: green soybean; sausage; response surface analysis; process optimization

中图分类号: TS251.51

文献标志码: A

文章编号: 1001-8123 (2015) 04-0026-05

doi: 10.7506/rlyj1001-8123-201504006

随着经济社会的发展, 肉类加工的创新形式层出不 穷,生产技术和水平都在不断攀升,产品的层次结构、 立体性也越来越强, 肉类食品已成为了人们生活中必不 可少的组成部分,特别是低温肉制品[1-2]。而低温香肠正 是其中一类,由于其色泽明亮、食用方便以及最大限度 地保持了肌肉的基本结构[3]、营养成分[4]、风味而深受人 们青睐。但由于传统香肠脂肪含量较高、营养元素损失 较多等[5]问题,导致其市场应用存在较大局限性。而膳食 纤维虽然不具有营养价值,但却是健康饮食不可缺少的 组成成分, 其具有减少胆固醇吸收, 降低结肠癌发病几 率,促进肠道蠕动[6-8]等优点。将膳食纤维添加到香肠制 品中,制成复合香肠,既能改善香肠的感官品质,又能 增加香肠本身的营养组分,可改善食品的保健功能,提 高出品率、降低成本、增加附加值[9],提升谷物类资源的 转化利用率等[10]。亚硝酸盐主要用于发色以及抑菌,尤 其对肉毒梭状芽孢杆菌有良好抑制作用[11],但亚硝酸盐 的过量残留会带来很多危害,例如致畸性、致癌性[12]。 因此,在确保色泽、抑菌效果良好的前提下应使其残留 量在合理范围内[13]。

复合香肠已有多年的研究,但青豆复合香肠尚未见报 道。本实验以鸡肉为主要原料,对青豆复合低温香肠工艺 中的食盐添加量、腌制时间、青豆添加量进行优化,以期 得到高膳食纤维、低亚硝酸盐残留量的低温复合香肠。

1 材料与方法

1.1 材料与试剂

冻鸡胸肉、青豆、食盐、五香粉、味精、胡椒粉、 淀粉、糖、小苏打购自乌鲁木齐爱家超市。

天然羊肠衣 河北省保定市宽泽肠衣厂;复合磷酸盐(食品级) 徐州市天溢源食用化工有限公司;亚硝酸钠(食品级) 杭州市龙山化工有限公司;D-异抗坏血酸钠(食品级) 江西省德兴市百勤异VC钠有限公司;山梨酸钾(食品级) 宁波王龙集团有限公司;亚铁氰化钾、冰乙酸、乙酸钠、硼砂均为分析纯 天津市光复科技发展有限公司。

1.2 仪器与设备

MM8型绞肉机 广东省韶关市大金食品机械厂;

收稿日期: 2014-12-01

作者简介:鞠斌(1990—),男,硕士研究生,研究方向畜产品加工。E-mail: jbdashi@sina.com

*通信作者:巴吐尔•阿不力克木(1968一),男,副教授,博士,研究方向畜产品加工原理与技术。E-mail: batur6805@126.com

YSN-GC7型灌肠机 广东省广州市优连食品加工机械有 限公司; 21型可见光分光光度计 上海菁华科技仪器股 份有限公司: DHG-9123A型干燥箱 上海一恒科学仪器 有限公司; HH-S4水浴锅 金坛市医疗仪器厂; JA2003 上海上天精密仪器有限公司; PHS-3CpH计 上海仪电科学仪器股份有限公司。

1.3 方法

1.3.1 青豆复合鸡肉香肠工艺流程

青豆→预处理→预煮→晾干

冻鸡胸肉→解冻→绞碎→腌制→制馅→灌制→烘烤→ 蒸煮→冷却晾干

1

1.3.2 配方

配方参照文献[14], 并加以改进: 鸡肉1kg、食盐 2.5%、复合磷酸盐(焦磷酸钠:六偏磷酸钠:三聚磷 酸钠=2:2:1) 0.438%、D-异抗坏血酸钠0.109%、亚 硝酸钠0.012%、山梨酸钾0.12%、胡椒粉0.15%、味 精0.13%、五香粉0.21%、淀粉8.77%、糖3%、青豆 12%、冰水13%。

1.3.3 操作要点

1.3.3.1 前处理

鸡胸肉剔除筋膜、脂肪、血块等,将其切成适当大 小并匀速通过绞肉机。

1.3.3.2 腌制

将食盐、亚硝酸钠、复合磷酸盐、抗坏血酸钠、山 梨酸钾混合均匀后,涂抹于肉表面并适当翻转,确保腌 制料涂抹均匀。装盘在4 ℃条件下腌制24 h。

1.3.3.3 拌制

将腌制完全的肉与配料混合均匀,并在拌制过程中 不断加入冰水,以控制肉馅温度,防止细菌滋生。拌制 前将青豆切碎, 以免在香肠中分布不均, 拌制时以顺时 针方向搅动肉馅[15]。

1.3.3.4 灌制

肠衣在使用前,添加适量小苏打浸泡24h,至肠衣 表面呈现白色即可使用。灌制过程中随时检查肠衣情 况,保持匀速灌制,以免肠衣受力不均而破裂,同时防 止气泡出现, 避免局部过紧或过松(以两指按压弹性适 度为宜)。

1.3.3.5 烘烤

烘烤前, 在其表面使用细牙签扎出肉眼可见小孔, 烘烤温度控制在80~85℃,保持香肠中心温度在75℃ 以上[16],并在烘烤的过程中不时翻动肠体,使其受热均 匀, 烘烤时间约1h, 直至香肠表面干燥, 肠体紧致, 并 伴有肠衣烤制风味。

1.3.3.6 蒸煮

水烧开后将香肠置于篦子上, 放入锅内, 进行蒸

煮, 电磁炉温度恒定于85~90 ℃, 蒸煮30 min, 选择通 风良好处晾干后保藏。

1.3.4 pH值测定

准确称取10 g绞碎后的样品于锥形瓶中,加入 100 mL蒸馏水, 浸泡约1 h, 过滤, 用pH计直接测定滤 液的pH值[17]。

1.3.5 亚硝酸盐残留量测定[18]

1.3.5.1 标准曲线的绘制

准确吸取0.00、0.20、0.40、0.60、0.80、1.00、 1.50、2.00、2.50 mL亚硝酸钠标准使用液(相当于0.0、 1.0、2.0、3.0、4.0、5.0、7.5、10.0、12.5 μg亚硝酸 钠),分别置于50 mL带塞比色管中,分别加入2 mL对氨 基苯磺酸溶液,混匀,静置3~5 min后各加入1 mL盐酸 萘乙二胺溶液,加超纯水至刻度,混匀,静置15 min,在 538 nm波长处测定各溶液吸光度,并绘制标准曲线。

1.3.5.2 亚硝酸盐残留量的测定

准确称取样品5.00 g, 置于研钵中, 加入适量蒸馏水 研磨, 倒入50 mL烧杯中, 加入饱和硼砂12.5 mL, 搅拌 均匀,用300 mL 70 ℃蒸馏水将试样冲洗进500 mL容量瓶 中,100 ℃加热15 min,冷却至室温,加入5 mL亚铁氰化 钾,摇匀,再加入5 mL乙酸锌,定容后静置30 min,过 滤,取上清液40 mL按标准曲线制作步骤,在相同条件下 测定吸光度,并按以下公式进行计算:

$$X = \frac{m_1 \times 1000 \times V_0}{m \times V_1 \times 1000}$$

式中: X为亚硝酸钠含量/(mg/kg); m_1 为样液中 亚硝酸钠质量/ μg ; m为试样质量/g; V,为测定用样液体 积/mL; V。为试样处理液总体积/mL

1.3.6 单因素试验设计

1.3.6.1 食盐添加量对亚硝酸盐残留量的影响

腌制时,腌制时间为24 h,青豆添加量为12%,并 分别测定不同食盐添加量1.5%、2.0%、2.5%、3.0%、 3.5%、4.0%对香肠亚硝酸盐残留量的影响。

1.3.6.2 腌制时间对亚硝酸盐残留量的影响

腌制时,食盐添加量为2.5%,青豆添加量为12%, 分别测定不同腌制时间12、24、36、48、60、72 h, 对香 肠亚硝酸盐残留量的影响。

1.3.6.3 青豆添加量对亚硝酸盐残留量的影响

腌制时,食盐添加量为2.5%,腌制时间为24h,分 别测定不同青豆添加量6%、8%、10%、12%、14%、 16%对香肠亚硝酸盐残留量的影响。

1.3.7 响应面试验设计

采用Design-Export 8.0软件根据Box-Behnken Design 响应曲面设计进行响应面试验设计,计算分析,并结合 单因素试验结果,以食盐添加量、腌制时间以及青豆的

添加量为自变量,分别为 X_1 、 X_2 、 X_3 ,以亚硝酸盐残留量为因变量Y,进行三因素三水平的响应面试验,试验设计因素编码及水平见表1所示。

表 1 BBD设计因素编码及水平

Table 1 Factors and their coded levels used in BBD design

因素		水平	
(4) 系	-1	0	1
X1食盐添加量/%	2.25	2.5	2.75
X_2 腌制时间/h	32	36	40
X3青豆添加量/%	8	10	12

2 结果与分析

2.1 亚硝酸盐标准曲线

根据1.3.5.1节的方法进行亚硝酸盐标准曲线的绘制,得到吸光度与亚硝酸盐质量之间的曲线,以亚硝酸钠的质量为横坐标(x)、吸光度为纵坐标(y),亚硝酸盐的标准曲线为y=0.017x+0.004, $R^2=0.999$ 。

2.2 单因素试验

2.2.1 食盐添加量对亚硝酸盐残留量及pH值的影响

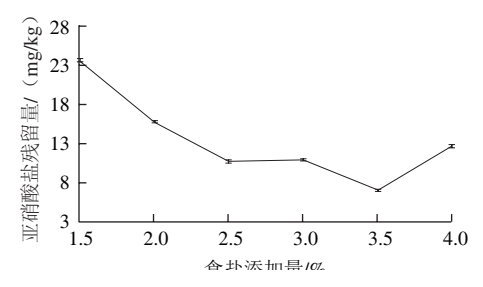


图 1 食盐添加量对亚硝酸盐残留量的影响

Fig.1 Effect of salt concentration on nitrite residue

由图1可知,食盐添加量在1.5%~2.5%时,随着食盐添加量的不断增加,亚硝酸盐残留量迅速降低,由23.66 mg/kg 降低至10.75 mg/kg,降幅达到54.56%,作用十分显著,食盐添加量在2.5%~3.0%之间时,对亚硝酸盐分解的作用开始呈现减缓趋势,但食盐添加量在3.5%时,亚硝酸盐含量又呈现出下降趋势,并在4.0%时呈现大幅度上升。

表 2 食盐添加量对pH值的影响

Table 2 Effect of salt concentration on pH

食盐添加量/%	1.5	2.0	2.5	3.0	3.5	4.0
pН	6.45	6.35	6.37	6.33	5.98	5.91

由表2可知,食盐添加量增高,有助于形成低pH值环境,对亚硝酸盐分解有促进作用,但高浓度的盐也使细胞脱水,阻碍HNO₂的复分解反应,表现为亚硝酸盐残留量变化不显著甚至上升,因而继续增大食盐添加量变化不大,所带来的边际效应减弱。考虑到香肠口味上的变化以及口感接受程度,选择食盐添加量为2.5%。

2.2.2 腌制时间对亚硝酸盐残留量的影响

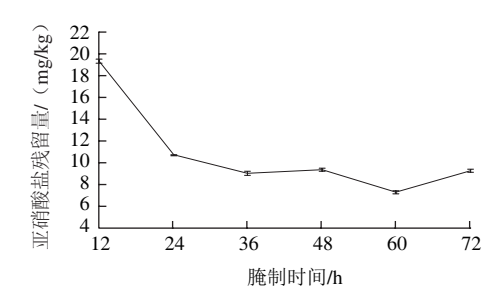


图 2 腌制时间对亚硝酸盐残留量的影响

Fig.2 Effect of curing time on nitrite residue

由图2可知,随着腌制时间的延长,亚硝酸盐残留量整体呈现下降趋势,在开始腌制后的36 h内亚硝酸盐 残留量由19.40 mg/kg迅速降低至9.12 mg/kg,降幅达到52.99%,但在随后的12 h内又呈现出小幅的上升趋势,亚硝酸盐残留量为9.40 mg/kg,并且在60 h时小幅降低,72 h时由呈现上升趋势。

表 3 腌制时间对pH值的影响 Table 3 Effect of curing time on pH

-	腌制时间/h	12	24	36	48	60	72
	pН	6.24	6.19	6.04	6.08	5.84	5.82

由表3可知,随着腌制时间延长,亚硝酸盐不断分解,并在腌制36 h时,分解速率接近最大,而在36~72 h内,由于含盐量不足以长时间抑制细菌生长,蛋白质开始降解,导致部分与蛋白质结合的亚硝盐得到释放,使亚硝酸盐含量异常上升,因此,为保证腌制质量,避免蛋白质发生降解,选择腌制时间为36 h。

2.2.3 青豆添加量对亚硝酸盐残留量的影响

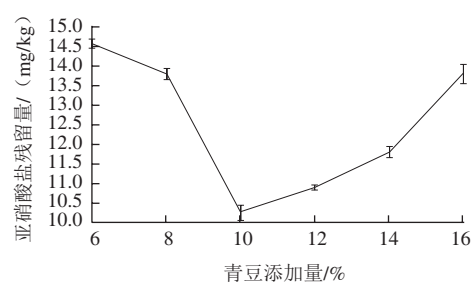


图 3 青豆添加量对亚硝酸盐残留量的影响

Fig.3 Effect of green soybean concentration on nitrite residue

由图3可知,随着青豆添加量的增大,亚硝酸盐残留量呈现出先下降后上升的趋势,青豆添加量在6%~10%时,亚硝酸盐残留量下降趋势十分显著,由14.58 mg/kg下降至10.25 mg/kg,降幅约30%。而青豆添加量在10%~16%时,亚硝酸盐残留量又迅速回升。

表 4 青豆添加量对pH值的影响

Table 4	Effect of	green sovbean	concentration on	pН

青豆添加量/%	6	8	10	12	14	16
pН	6.18	6.11	6.01	6.26	6.36	6.42

由表4可知,青豆添加量在6%~10%时,pH值较为 稳定,并保持在较高水平,这表明,青豆中的有效成 分,如VE、碳水化合物等,对亚硝酸盐的分解产生促 进作用,但过量添加使得青豆中的硝酸盐成为残留主要 来源,并且分解缓慢,因此,选择10%青豆添加量最为 适宜。

2.3 响应面设计结果

响应面设计结果

Table 5 Experimental design and results for response surface analysis

I abic 5	mapor mon	acorem	a robutub tor .	esponse surface analysis
试验号		因素	亚硝酸盐	
以业 与	X_1	X_2	X_3	残留量/(mg/kg)
1	1	1	0	9.88
2	-1	0	1	10.44
3	-1	1	0	11.86
4	1	0	1	10.48
5	0	0	0	9.43
6	-1	-1	0	11.01
7	0	0	0	9.56
8	0	1	1	10.20
9	1	0	-1	11.92
10	0	1	-1	11.14
11	0	0	0	9.45
12	0	-1	1	9.97
13	1	-1	0	10.86
14	0	-1	-1	12.21
15	0	0	0	9.54
16	-1	0	-1	12.86
17	0	0	0	9.12

2.4 回归模型的建立及方差分析

表 6 回归模型方差分析 Analysis of variance (ANOVA) of regression model

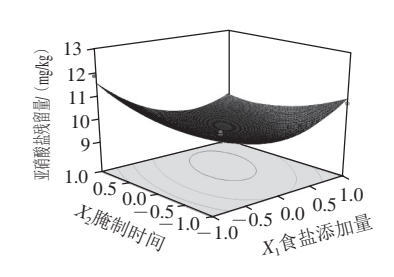
方差来源	平方和	自由度	均方	F	P	显著性	
X_1	1.147 6	1	1.147 6	18.470 5	0.003 6	**	
X_2	0.117 6	1	0.117 6	1.892 9	0.211 3		
X_3	6.195 2	1	6.195 2	99.710 1	< 0.0001	**	
X_1X_2	0.837 2	1	0.837 2	13.474 9	0.0080	**	
X_1X_3	0.240 1	1	0.240 1	3.864 3	$0.090\ 0$		
X_2X_3	0.422 5	1	0.422 5	6.8000	0.035 0	*	
X_1^2	4.327 1	1	4.327 1	69.643 7	< 0.0001	**	
X_2^2	0.925 2	1	0.925 2	14.890 3	0.006 2	**	
X_3^2	4.137 2	1	4.137 2	66.586 5	< 0.0001	**	
模型	19.320 1	9	2.146 7	34.550 2	< 0.0001	**	
残差	0.434 9	7	0.062 1				
失拟项	0.309 9	3	0.103 3	3.3059	0.1391		
纯误差	0.125 0	4	0.0313				
总和	19.755 0	16					
R^2		97.80%					
R_{Adj}^2		94.97%					

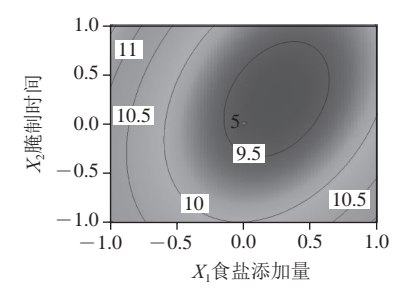
注: *.差异性显著(P<0.05); **.差异性极显著(P<0.01)。

回归方程为: $Y=9.4200-0.3786X_1-0.1213X_2 0.8800X_3 - 0.4575X_1X_2 + 0.2450X_1X_3 + 0.3250X_2X_3 +$ $1.013\ 8X_1^2 + 0.468\ 8X_2^2 + 0.991\ 3X_3^2$.

由表6可知,模型的整体显著水平小于0.0001,为 极显著水平,并且试验失拟项不显著,表明所选用的 二次多项模型有效,试验方法较为可靠,决定系数为 97.80%,校正决定系数为94.97%,则说明此模型与实际 试验拟合度较好,可用此模型进行结果的预测。

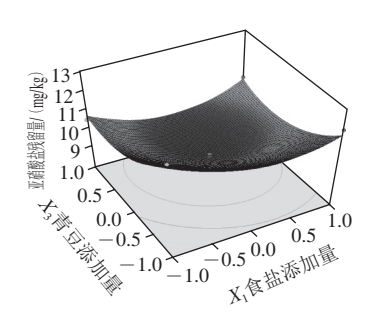
响应面分析





食盐添加量和腌制时间对亚硝酸盐残留量的响应面和等高线 Response surface and contour plots showing the effect of salt concentration and curing time on nitrite residue

由图4和表6的方差分析可知,食盐添加量对亚硝酸 盐残留量的影响极显著(P<0.01),而腌制时间对亚硝 酸盐残留量的影响不显著 (P>0.05), 食盐添加量和腌 制时间对亚硝酸盐残留量的影响极显著(P<0.01)。食 盐添加量对亚硝酸盐残留量的影响比腌制时间的影响更 为显著。



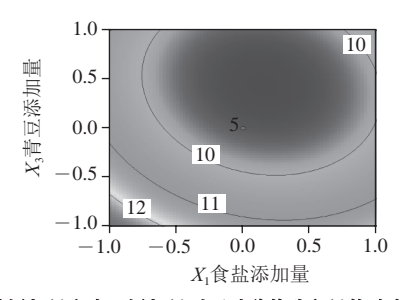


图 5 食盐添加量和青豆添加量对亚硝酸盐残留量的响应面和等高线 Fig.5 Response surface and contour plots showing the effect of salt and green soybean on nitrite residue

由图5和表6方差分析可知,食盐添加量对亚硝酸盐残留量的影响极显著(P<0.01),而青豆添加量对亚硝酸盐残留量的影响同样极显著(P<0.01),食盐添加量和青豆添加量对亚硝酸盐残留量的影响显著(P<0.05)。

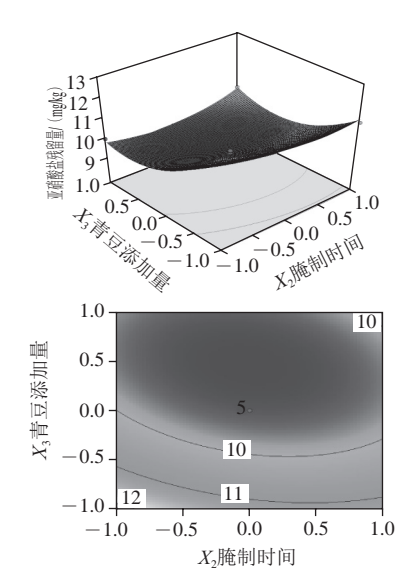


图 6 腌制时间和青豆添加量对亚硝酸盐残留量的响应面和等高线
Fig.6 Response surface and contour plots showing the effect of curing
time and green soybean on nitrite residue

由图6和表6的方差分析可知,响应面图形较为平缓,青豆添加量对亚硝酸盐残留量的影响极显著(P<0.01),而腌制时间对亚硝酸盐残留量的影响不显著(P>0.05),食盐添加量和腌制时间对亚硝酸盐残留量的影响不显著(P>0.05)。而响应面整体较为陡峭,等高线图则呈现出近椭圆形,表明其交互作用较其他两种情况更为明显,对亚硝酸盐残留量的影响也更为显著。青豆添加量对亚硝酸盐残留量的影响比腌制时间的影响更显著。

2.6 模型的验证

由模型得出青豆香肠的最佳工艺条件为:食盐添加量2.54%、腌制时间36.24 h、青豆添加量10.84%,在此条件下,亚硝酸盐残留量为9.205 2 mg/kg,符合

GB2760—2011《食品添加剂使用标准》关于肉灌肠类食品的残留标准(以亚硝酸盐计,残留量≤30 mg/kg)但考虑到实际操作条件,将工艺条件调整为食盐添加量2.54%、腌制时间36 h、青豆添加量10.84%,在此优化条件下进行3次平行验证实验,得到亚硝酸盐残留量的平均值为9.321 7 mg/kg,实际值与预测值之间相对误差为1.27%,在可接受范围内,说明采用此模型优化后得到的残留量在理想范围内,具有实际意义。

3 结论

本研究通过单因素试验和Box-Behnken响应曲面设计对青豆香肠的制作工艺进行了优化,拟合出以食盐添加量、腌制时间、青豆添加量为自变量,亚硝酸盐残留量为因变量的回归模型,并得到了最终的回归方程: $Y=9.420\,0-0.378\,8X_1-0.121\,3X_2-0.880\,0X_3-0.457\,5X_1X_2+0.245\,0X_1X_3+0.325\,0X_2X_3+1.013\,8X_1^2+0.468\,8X_2^2+0.991\,3X_1^2$,且通过验证实验确保了模型的可靠性。

由模型确定的最佳工艺为食盐添加量2.54%、腌制时间36 h、青豆添加量10.84%,在此条件下得到亚硝酸盐残留量最低,为9.321 7 mg/kg。

参考文献:

- [1] 孙建青, 徐宝才, 周辉, 等. 低温肉制品关键工艺及装备技术应用研究进展[J]. 食品科学, 2010, 31(23): 454-459.
- [2] 杨琴, 胡国华. 海藻酸钠的复配及在低温肉制品中应用研究[J]. 中国食品添加剂, 2013(4): 145-148.
- [3] NDOGDU A K, KARAHAN A G, CAKMAKCM L. Production of itric oxide (NO) by latic acid bacteria isolated from fermented products[J]. European Food Research and Technology, 2006, 223(1): 178-182.
- [4] 袁先群. 酱卤类低温肉制品品质变化[D]. 重庆: 西南大学, 2012.
- [5] 苏丹,赖雪雷,康建波,等. 肉制品加工研究进展与新技术应用[J]. 农产品加工,2011(3): 52-58.
- [6] 郑立红, 李风英, 任发政, 等. 葡萄皮在低温香肠中的应用研究[J]. 中国食品学报, 2008, 8(6): 82-85.
- [7] THOMAS R, ANJANEYULU A S R, GADEKAR Y P, et al. Effects of comminution temperature on the quality and shelf-life of buffalo meat nuggets[J]. Food Chemistry, 2007, 103(3): 787-794.
- [8] 谢婷, 李诚. 膳食纤维功能性肉制品研究进展[J]. 肉类研究, 2007, 21(9): 3-6.
- [9] 唐学燕, 励建荣, 赵爱明, 等. 洋葱对西式香肠品质及储存稳定性的 影响[J]. 食品与机械, 2008, 24(2): 29-32.
- [10] 周亚军, 吕晨艳, 付天宇, 等. 复合发酵香肠加工工艺与发酵特性研究[J]. 食品与机械, 2009, 25(4): 107-111.
- [11] 皇甫超申, 史齐, 李延红, 等. 亚硝酸盐对人体健康的利害分析[J]. 环境与健康杂志, 2010, 27(8): 733-736.
- [12] 徐敦明, 周昱, 李志煌, 等. 燕窝中亚硝酸盐风险分析研究[J]. 食品 安全质量检测学报, 2010, 2(1): 53-58.
- [13] 吴赤蓬, 张晓蓉, 韩辉. 亚硝酸钠对大鼠睾丸支持细胞DNA损伤的研究[J]. 现代预防医学, 2008, 35(9): 1688-1690.
- [14] 秦阳. 添加新疆特色干果对灌肠制品品质的影响[D]. 乌鲁木齐: 新疆农业大学, 2013.
- [15] 刘迪迪, 孔保华. 斩拌条件和添加成分对肉糜类制品质量的影响[J]. 肉类研究, 2009, 23(3): 14-18.
- [16] 孙震,徐世梅,杭峰. 微波杀菌动力学及其影响因素的研究[J]. 食品 科学, 2007, 28(11): 126-129.
- [17] 田呈瑞, 张富新. 中式发酵烤肠发酵特性的研究[J]. 陕西师范大学学报: 自然科学版, 2001, 24(2): 77-80.
- [18] 中华人民共和国卫生部 GB5009.33-2010 食品安全国家标准食品中亚硝酸盐与硝酸盐的测定[S]. 北京: 中国标准出版社, 2010.